

高等学校教學用書

拖拉机和汽車發动机

上 册

B. H. 保勤斯基著

高等教育出版社



52.9.31/ 3-2

高等学校教学用書



拖拉机和汽車發动机

上 册

B. H. 保勤斯基著

天津大学机械系内燃机教研室譯

高等教育出版社

本書原系根据苏联国立农业書籍出版社 (Государственное издательство сельскохозяйственной литературы) 出版、保勤斯基 (В. Н. Болтицкий) 著“汽車拖拉机發动机” (Автотракторные двигатели) 1948 年增訂第四版譯出，由財政經濟出版社出版。現按 1955 年增訂第五版修訂，書名改为“拖拉机和汽車發动机” (Тракторные и автомобильные двигатели)，改由我社出版。

原書經苏联前文化部高等教育署审定为农业机械化学院和农业机械化系教科書。

全書共計七篇，中譯本分上下兩册出版。下册內容为汽車拖拉机發动机的燃料供应系統、輔助系統和机构，以及汽車拖拉机發动机的試驗。

參加本書下册譯校工作的为天津大学机械系内燃机教研室史紹熙、刘友鈞、王紹祖、馮中及万欣。

施拉机和汽車發动机

下册

B. H. 保勤斯基著

天津大学机械系内燃机教研室譯

高等教育出版社出版北京宣武門內永應寺 7 号

(北京市書刊出版業營業許可證字第 054 號)

京華印書局印刷 新華書店發行

統一書號 15010·718 開本 787×1092 1/16 印張 14 1/8 插頁 1

字數 292,000 印數 0001—4,000 定價 (10) 1.90

1959 年 1 月第 1 版 (修訂本) 1959 年 1 月北京第 1 次印刷

原書第五版序

本書是一本有关拖拉机和汽車发动机的原理、动力学、構造和計算的書籍。

在培养拖拉机和汽車的运用与修理的工程师时，書中上述各篇的作用并不是具有同等意義的。

气缸中工作过程的正常进行决定发动机主要工作指标的数值：其功率、經濟性、可靠性和耐磨性。

很多的运用因素对于工作过程的进行發生影响，并因而变更上面指出的发动机工作指标的水平。确定主要工作指标与运用因素之間的相互联系是汽車拖拉机发动机原理的課題，因而对于运用工程师而言，这一篇具有头等的意义。

各个机件、机构和整个发动机的耐久性和动作可靠性决定于一系列的原因，其中包括发动机工作时所产生的作用力。所以在培养这一方面的專家时，闡明发动机动力学的問題是很重要的。

运用的經驗證明，構造因素对发动机工作指标的影响至为巨大。因此，構造的分析，主要是祖国发动机構造的分析应給予充分的注意。

发动机的工作指标也决定于冷却、潤滑、燃料供应等系統的作用和正常情况。因此，对发动机各种系統的計算原則的一般認識是必要

的。

发动机机件强度計算的問題对于运用者來說是关系較少的，故只要在很有限的范围内（足以查明某一机件所承受的負荷就足够了）加以研究便可。在判断某机件的磨损或损坏原因时，这是很重要的。

本書是按照 1952 年苏联高等教育部批准的本課程教學大綱并考慮到上述各点而編寫的。

書中包括有为准备本課程考試所必需的材料，也包括有足够完成課程設計的关于構造上的、参考性的和其他方面的材料。后者在書中用小号字區別出来。

在本版中，書中所有各篇都或多或少地作了修改、补充和訂正。

在修改时曾注意了自本書第四版出版以来所有对本書提出的意見和評論。

最后著者認為应当向担负起本書評閱工作的技术科学博士李寧（И. М. Ленин）教授和索羅柯-諾維茨基（В. И. Сороко-Новицкий）教授以及于准备本版出版时提供意見的义茨可夫（А. И. Ицков）工程师表示謝忱。

B. 保勤斯基

于莫斯科农業机械化和电气化学院。

1952 年 12 月。

本書所采用的符号 (最主要的)

- A*—調速器的工作能力。
C—調速器重錘的離心力。
c_v—气体的等容比热。
c_p—气体的等压比热。
d—气缸直徑。
d₁, d₂ 和 d_m—气門頂盤直徑。
d_n 和 d_e—活塞銷的內直徑和外直徑。
E—动能,第一类的彈性模数,調速器軸套压力。
F—气門彈簧压力。
f—气門彈簧的全縮短量。
G—第二类的彈性模数,重量。
G_a, G_t, G_r—进氣終点时气缸內的气体重量、新鮮进氣的重量,残余廢氣的重量。
g—重力加速度。
j—往复运动部分的加速度。
H_u—燃料的热值。
T_a, T_c, T_z, T_b, T_r, T_o 和 T₆—进氣、壓縮、燃燒、膨胀終点时气缸內的气体溫度;残余廢氣的溫度;周圍大气的溫度和計入預熱后的进氣溫度。
i—气缸數。
K—适应性系数。
L₀—燃燒 1 千克燃料时,理論上所必需的空气量,以千克分子計。
l—連杆長度。
M, M_c, M_z, M_r—燃燒产物的千克分子数; 壓縮終点时的气体 千克分子数; 燃燒終点时的气体 千克分子数; 残余廢氣的千克分子数。
M_e—发动机的平均轉矩。
m, m_r—往复运动部分和不平衡的迴轉部分的質量。
N_t, N_T, N_e—指示功率,摩擦功率和有效功率。
n—軸的轉速。
p_a, p_c, p_z, p_b, p_r, p_i, p_T 和 p_e—进氣、壓縮、燃燒、膨胀、排气終点时的气体压力; 平均指示压力; 摩擦压力和平均有效压力。
Q—热量; 循环着的滑油量。
R—气体常数; 加于連杆軸頸或主軸頸上的所有各力的合力。
r—曲柄半徑。
S—活塞行程。
s—在某一瞬时的气門位移。
V_a, V_c 和 V_h—进氣終点的气体体积, 壓縮終点的气体体积和气缸的工作容积。
W—活塞的速度。
w—气門速度; 燃料速度, 气体速度。
P_{j1}, P_{j2}, P_{j3}—第一級和第二級的慣性力; 由于偏置而引起的慣性力。
a—过量空气系数, 曲軸和凸輪軸轉角。
β—連杆傾斜角。

本書所採用的符號

γ —殘余廢氣系數，比重。

δ —膨脹比，迴轉的不均勻度，調速器的不均勻度。

ϵ —壓縮比，調速器的不靈敏度。

$\eta_h, \eta_m, \eta_i, \eta_e$ —發動機的充量系數，機械效率，指示效率和實際效率。

θ —旋轉質量的轉動慣量。

$\lambda = r/l$ 比值，壓力增高比。

μ —計算的分子變更系數。

ξ —熱利用系數。

ρ —預先膨脹比。

r_1, r_2 —凸輪外形曲線的半徑。

τ —冲程系數。

ω —旋轉角速度。

本書所用略字表

ГАЗ 高尔基城莫洛托夫汽車工厂
ЗИС 莫斯科斯大林汽車工厂
КИМ 莫斯科汽車裝配工厂
МТМ 机器拖拉机修理厂
МТС 机器拖拉机站
МИМЭСХ 莫斯科农業机械化和电气化学院
НАТИ 机器拖拉机科学研究所
МВТУ 莫斯科高等技术学校
СТЗ 斯大林格勒捷尔任斯基拖拉机工厂

ХТЗ 哈尔科夫城奥尔忠尼启则拖拉机工厂
ЧТЗ 齐略宾斯克斯大林拖拉机工厂
ЯАЗ 雅罗斯拉夫汽車工厂
НАМИ 汽車及发动机科学研究所
ЦИАМ 中央航空发动机研究所
НИДИ 柴油机科学研究所
ВАСХНИЛ 列宁全苏农業科学院
ВИМ 全苏机械化研究所
ВИЭСХ 全苏农業电气化研究所

本書上冊中俄名詞對照表

乙基液 этиловая жидкость
 二甲苯胺 ксилендин
 二溴化乙烷 бромистые этилен
 人工老化 искусственное старение
 工作平和 мягкие работы
 五羰基化鉄 пентакарбонил железа
 瓦斯發动机 газовый двигатель
 公升量 литраж
 公升重量 литровый вес
 公升功率 литровая мощность
 比功率 удельная мощность
 比重量 удельный вес
 不均匀度 степень неравномерности
 自热数 калильное число
 四乙鉛 тетраэтиловый свинец
 甲苯 толуол
 可見燃燒时期 период видимого горения
 卡塊 сухарь
 示功圖不完滿系数 коэффицент не-
 полноты диаграммы
 平和悬置 правящая подвеска
 凸輪軸 распределительный вал
 凸鍵 юс
 有效功率 эффективная мощность
 有效跨度 расчетный пролет
 有效断面 живое сечение
 光度学的 фотометрический
 进气 заряд
 充量系数 коэффицент наполнения
 多方过程 полигроп
 全制調速器 всережимные регулятор
 因瓦 инвар
 曲柄銷 шейка коленчатого вала
 抗爆剂 антидетонатор
 扭力扳手 динамометрический ключ
 防漏部 уплотняющая часть
 直徑間隙 диаметральный зазор
 兩面車削 двойная обточка
 呼吸孔 сапунове отверстие
 苯胺 анилен
 指示效率 индикаторный коэффи-
 циент полезного действия
 相对效率 относительный К. П. Д.
 冒烟界限特性曲綫 характеристика
 предела дымления
 剛度 жесткость
 提杆 штанга

后备功率 запас мощности
 活塞銷座 прилив поршневого пальца
 时间-断面 время-сечение
 原型发动机 прототипа
 特性方程式 характеристическое
 уравнение
 高速程度 быстроходность
 校正器 корректор
 座車 легковая машина
 浮式銷子 плавающий палец
 埋头孔 залкнованное отверстие
 气缸体-曲軸箱 блок-картер
 流动損耗 гидравлическая потеря
 排氣孔 выхлопный окон
 混合气 смесь
 混合强度 интенсивность перемешивания
 混合气的形成 смесеобразование
 扫气泵 продувочный насос
 粗暴性 жесткость
 动力性質 динамическое качество
 动力特性 динамическая характеристика
 动力指标 динамические показатели
 組合机件 узлов
 組合圖 узловые чертежи
 带动磨合 обкатка
 陽極氧化 анодизации
 从动杆 толкател
 断面系数 момент сопротивления
 發动机族 семейство двигателей
 發生爐瓦斯 генераторный газ
 發动机的悬置 подвеска двигателя
 过后燃燒 догорание
 过量空气系数 коэффицент избытка воздуха
 备用功率 резерв мощности
 残留廢氣系数 коэффициент остаточного газа
 預先膨脹比 степень предварительного расширения
 惯轉特性 характеристика холостого хода
 極值点 точка перегиба
 極限强度 временное сопротивление
 單制調速器 однорежимный регуля-

tor
 超量系数 коэффициент запас
 超速轉速 разносное число оборотов
 結構重量 конструкционный вес
 裙部 юбка
 旋流 завихрений
 經濟闊 экономайзер
 經济效率 экономический К. П. Д.
 經济特性 экономическая характеристика
 摆杆 коромысел
 节流特性 дроссельная характеристика
 輔助冲程 вспомогательный ход
 适油性, сродство к маслу
 适应性系数 коэффициент приспособляемости
 載荷特性 характеристика по нагрузке
 漲簧 экспандер
 冲程系数 коэффициент тактности
 摩阻压力 давление трения
 調速特性 характеристика на регуляторе
 調整特性 регулировочная характеристика
 摆度 прогиб
 夾布膠木齒輪 текстолитовая шестерня
 膨脹比 степень расширения
 机械效率 механический коэффициент
 燃料消耗率 удельный расход
 燃料調整特性 регулировочная характеристика по топливу
 点火交替 чередование воспламенек
 点火調整特性 регулировочная характеристика по зажиганию
 頤定功率 расчетная мощность
 壓縮室 камера сжатия
 壓力升高比 степень повышения давления
 縮短量 усадка
 爆震核心 очаг детонации
 挤气凸頂 выте нитель
 稳釘 контрольная шпилька
 臨界轉速 критическое чи то обогротов

0048266

上冊目錄

原書第五版序	iv	第三節 汽車發動機飛輪的計算	111	
本書所採用的符號	v	第四節 飛輪尺寸的確定	112	
引言	1	第三篇 曲柄連杆機構的機件		
第一篇 汽車拖拉機發動機的原理				
第一章 汽車拖拉機發動機內的过程	8	第一章 發動機的設計	115	
第一節 總論	8	第二章 汽車拖拉機發動機的活塞	116	
第二節 進氣過程	9	第一節 活塞的工作情況	116	
第三節 壓縮過程	20	第二節 制造活塞的材料	116	
第四節 燃燒過程	22	第三節 活塞的結構	118	
第五節 膨脹過程	46	第四節 活塞的計算	125	
第六節 排氣過程	48	第三章 活塞環	135	
第七節 平均指示壓力(p_i 和 p_e)	49	第一節 活塞環的工作情況	135	
第八節 發動機的效率(K. II. L.)、平均有效壓力(p_e) 和燃料消耗率(g_e)	51	第二節 制造活塞環的材料	135	
第九節 發動機的熱平衡	54	第三節 活塞環的結構	136	
第十節 發動機的熱計算	55	第四節 活塞環的計算	141	
第二章 汽車拖拉機發動機的特性	59	第四章 活塞銷子	144	
第一節 主要特性	59	第一節 銷子的工作情況和材料	144	
第二節 調整特性	59	第二節 活塞銷子的結構	144	
第三節 汽化器式發動機的速度特性	62	第三節 活塞銷子的計算	146	
第四節 柴油機的速度特性	65	第五章 汽車拖拉機發動機的連杆	148	
第五節 汽車發動機的載荷特性	68	第一節 連杆的工作情況和材料	148	
第六節 拖拉機發動機帶着調速器工作時的特性	69	第二節 連杆的結構	148	
第七節 惯轉特性	76	第三節 連杆的計算	155	
第八節 速度(外)特性曲線的繪制法	76	第六章 曲軸	163	
第三章 从“發動機原理”的觀點對農業先進生產 者成就的分析	78	第一節 曲軸的工作情況和材料	163	
第二篇 發動機基本尺寸的確定和曲 柄連杆機構的動力學				
第一章 汽車拖拉機發動機基本尺寸的確定	80	第二節 曲軸的結構	164	
第一節 發動機的比較參數	80	第三節 曲軸的計算	172	
第二節 發動機基本尺寸的決定	85	第七章 發動機的氣缸體-曲軸箱	187	
第二章 發動機曲柄連杆機構的動力學	89	第一節 工作情況和材料	187	
第一節 曲柄機構的運動學	89	第二節 氣缸體-曲軸箱的結構	187	
第二節 曲柄機構運動部件的質量	91	第三節 氣缸體-曲軸箱的計算	196	
第三節 發動機曲柄機構中所發生的慣性力	94	第四篇 四冲程和二冲程發動機的配氣		
第四節 發動機的普通動力學	95	第一章 四冲程發動機的配氣	198	
第五節 發動機的平衡	96	第一節 發動機的工作次序和配氣系統的分類	198	
第三章 拖拉機和汽車發動機飛輪轉動慣量確定	104	第二節 氣門配氣型式的選擇	198	
第一節 發動機的工作情況	104	第三節 配氣機構零件構造的簡述	206	
第二節 拖拉機發動機飛輪的計算	104	第四節 配氣的計算	222	

下册目录

第五篇 汽車拖拉机发动机的燃料供应系統	
第一章 空气滤清器	241
第一节 空气滤清器的基本指标和其构造	241
第二章 汽化器发动机的燃料供应系統	250
第一节 向汽化器供应燃料的方法	250
第二节 汽化过程	252
第三节 苏联出产的汽車拖拉机发动机用的汽化器	275
第四节 预热混合气的机构	287
第三章 柴油机的燃料供应系統	293
第一节 柴油机内混合气形成的过程	293
第二节 柴油机燃料供应系統的一般机构	303
第三节 燃料泵和喷嘴的构造	310
第四节 燃料泵和喷嘴基本尺寸的确定	325
第四章 使用压缩煤气和液化煤气的发动机的供应系統	329
第一节 关于天然煤气的一些知識	329
第二节 使用煤气的发动机的工作指标	330
第三节 煤气发动机供应系統的布置	332
第四节 煤气发动机供应系統的气罐、附件和仪器的构造	332
第五章 使用發生爐煤气的发动机的供应系統	338
第一节 关于煤气發生爐所用燃料方面的一些知識	338
第二节 使用發生爐煤气的发动机的工作指标	339
第三节 發生爐煤气发动机供应系統的布置	340
第四节 固体燃料的气化过程	342
第五节 煤气發生爐装置各元件的构造和基本尺寸的确定	349
第六篇 汽車拖拉机发动机的辅助系統和机构	
第一章 汽車拖拉机发动机的調速器	363
第一节 調速器的一般知識和分类	363
第二节 調速器的特性曲綫	370
第三节 調速器的构造	372
第四节 离心式調速器的計算	379
第二章 發动机的冷却系統	381
第一节 概論	381
第二节 傳給冷却系統的热量和傳熱過程	384
第三节 散熱器	386
第四节 強制式冷却系統	390
第五节 風扇	397
第三章 汽車拖拉机发动机的潤滑系統	404
第一节 概論	404
第二节 發动机的潤滑系統	408
第三节 潤滑系統的机构和器具	412
第四节 發动机的磨合和潤滑系統的維护	423
第五节 油系輸油率的確定	424
第四章 消音器和排气管	426
第五章 發动机的起动	428
第一节 汽車拖拉机发动机的起动過程	428
第二节 汽車拖拉机发动机的起动机构	435
第七篇 汽車拖拉机发动机的試驗	
第一章 概論	449
第一节 試驗的分类	449
第二节 試驗的內容	449
第二章 進行發动机試驗时所用的裝置和器械	450
第一节 測功裝置	450
第二节 量測燃料消耗量的設備	455
第三节 确定轉速的仪表	456
第四节 确定空气消耗量的裝置	457
第五节 确定廢氣烟度的裝置和其他仪器	458
第三章 進行試驗的技术	460
第一节 檢查試驗	460
第二节 發动机的标准試驗	460
參考書刊	469
中俄名詞對照表	478

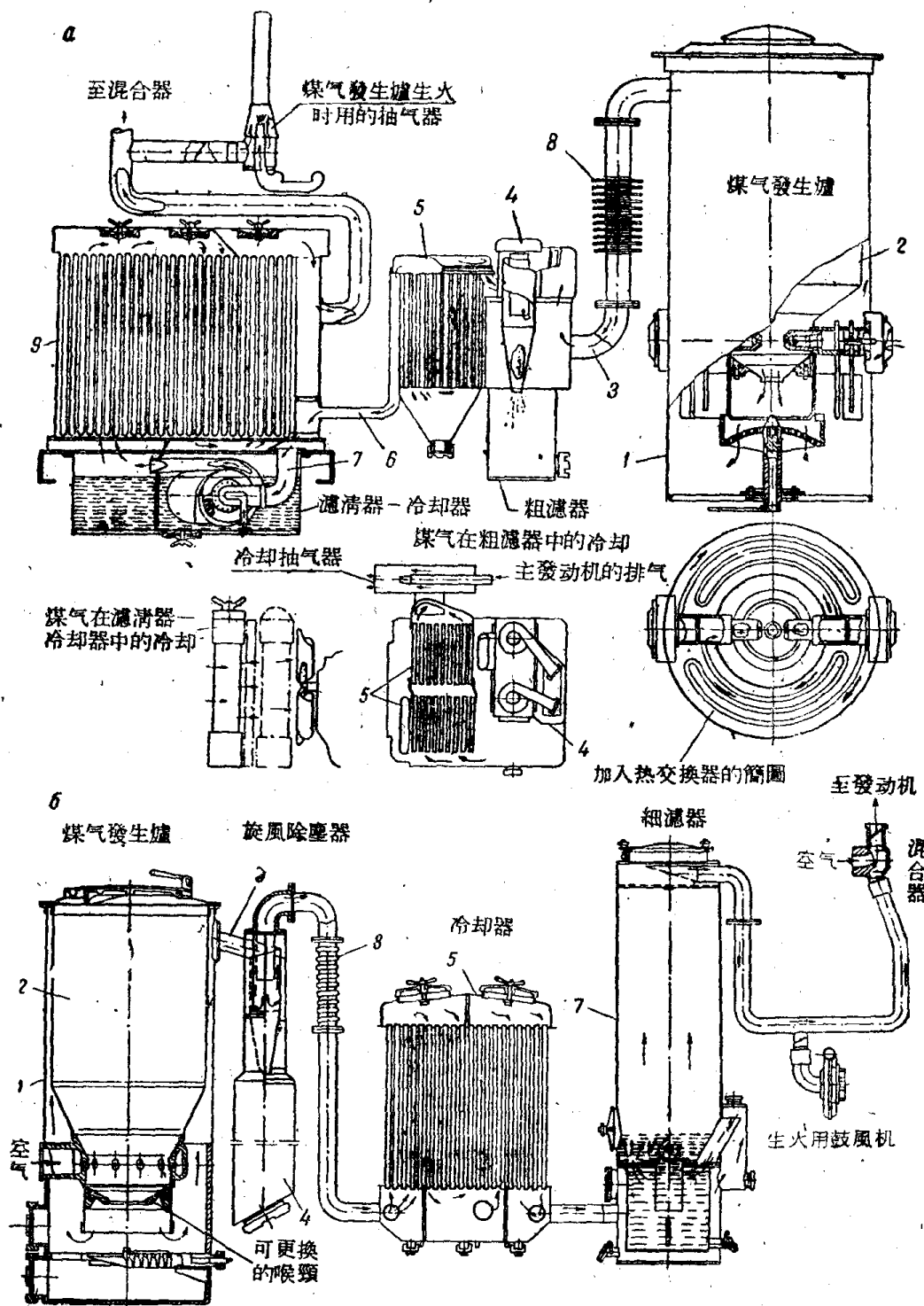


圖 225. 拖拉机用的煤气發生爐装置簡圖:
CTA-80(a); ГБ-58(b).

用富于树脂的燃料(木块和泥煤等)于發生爐 1 中气化的結果所获得的煤气(圖 225, a)于加热燃料倉 2 之后沿气管 3 流向作粗滤之用的旋風式滤清器 4。煤气穿过两个并列的旋風除塵器 4 和两組冷却器 5 沿气管 6 流入离心式滤清-冷却器 7, 在这里被滤清并冷却之后流向混合器。

于 ГБ-58 型拖拉机的發生爐装置中(圖 225, b), 煤气于經過冷却器 5 之后流入作細滤之用的滤清器 7, 然后流向混合器。

汽車用煤气發生爐装置的布置与 ГБ-58型發生爐装置的布置相似。

第四节 固体燃料的气化过程

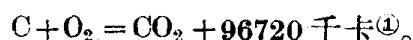
根据固体燃料的气化方法, 汽車拖拉机用煤气發生爐可以分成三种基本类型:

- 1) 具有上吸式气化过程的煤气發生爐;
- 2) 具有逆吸式或下吸式气化过程的煤气

發生爐;

- 3) 具有平吸式气化过程的煤气發生爐。

上吸式气化过程 圖 226, a 是具有上吸式气化过程的煤气發生爐的簡圖, 在發生爐的底部有爐篦, 煤气被工作的发动机由煤气發生爐的上部抽出。燃料气化所必需的空气与水蒸气一起經由爐篦流入。空气中的氧参与放热反应:



此处 C、H₂ 及 O₂ 取千克分子量。煤气發生爐的这个部分, 即燃料中的碳在該处进行氧化(燃燒)的部分, 謂之**氧化区**或**燃燒区**。由于放出大量的热的缘故, 燃燒区的溫度达到 1100—1300°C。因此在燃燒区上面的燃料層就被强烈的加热, 其溫度达到 900—1000°C。二氧化碳經過熾热的碳層并按下式进行吸热反应:

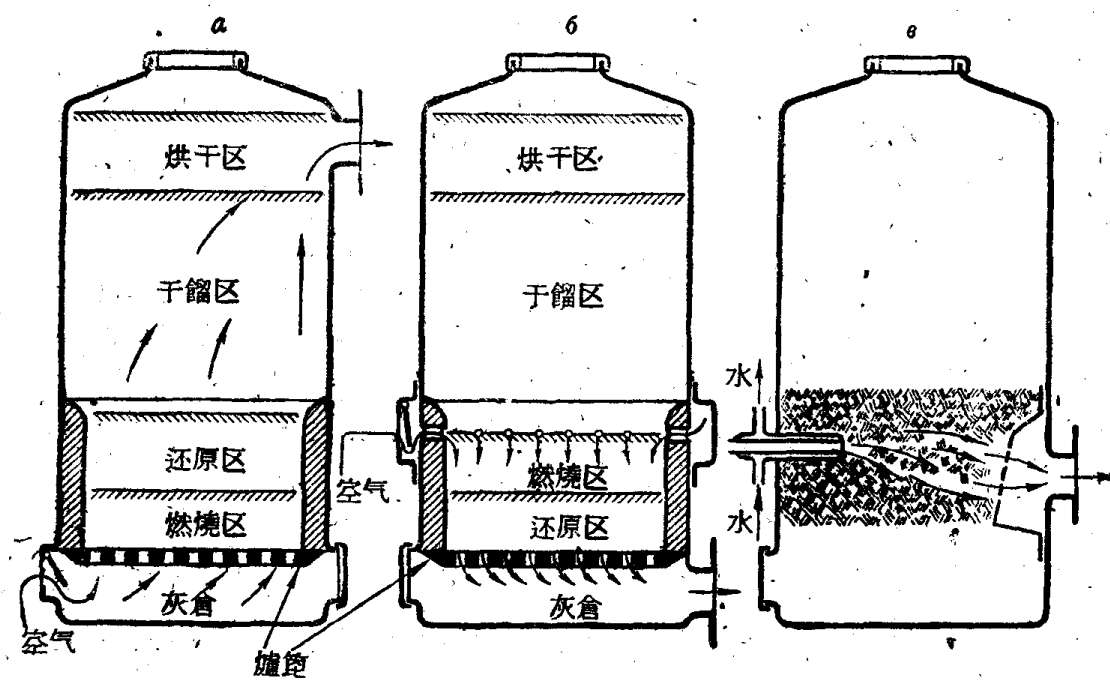
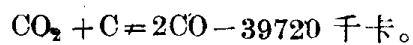
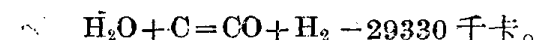


圖 226. 煤气發生爐簡圖:
上吸式(a); 下吸式(b); 平吸式(c)。

(1) 除此反应之外, 并發生: $2C + O_2 = 2CO$ 的反应。

燃料燃燒時所放出的及隨空氣一同進入的水蒸氣與熾熱的碳相接觸，也參與吸熱反應：



將水蒸氣與空氣一起送到煤气發生爐中去可將煤气的熱值提高 11—13%。

由於在熾熱碳區內二氧化碳還原成一氧化碳的緣故，發生爐的這個部分稱為還原區。

為了使二氧化碳的還原反應以及 H_2O 的分解反應能夠順利地進行，那麼還原區內的溫度就必須不低於 900°C 。

位於還原區之上的燃料層被輻射熱及上升的煤气 ($\text{CO}, \text{CO}_2, \text{H}_2$) 加熱。在高溫的作用下及無氧的情況下發生燃料的干餾。煤气發生爐的這個部分(在還原區之上)——該處燃料在熱的作用下被干餾——謂之干餾區。發生爐中溫度低於 180°C 的部分名之為干燥區。由於燃料氣化、干餾及干燥的結果，在發生爐的上部將獲得由 $\text{CO}, \text{CO}_2, \text{H}_2, \text{CH}_4, \text{C}_n\text{H}_m$ 、水蒸氣、樹脂、醇及其他生成物所組成的煤气，這煤气將被發動機吸去。

上吸式過程僅於氣化含有少量樹脂的燃料時採用(例如在 IT-58 型煤气發生爐中氣化木炭、焦煤和其他樹脂少的燃料)。

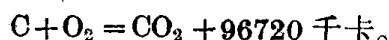
這是因為當富樹脂的燃料氣化時，干餾區的生成物(主要是樹脂)落在發動機氣缸裡面，會將氣門表面、燃燒室、活塞及活塞環弄髒到這樣的程度，以致使發動機停止運轉。

下吸式氣化過程 在採用含有樹脂的燃料(例如木頭、泥煤磚等)的情況下使用下吸式過程，其與上吸式過程的區別就在於煤气的收集是由下面進行的，因此干餾區內所積聚着的生成物，包括水蒸氣被吸經高溫($1100-1300^{\circ}\text{C}$)燃料層，因而樹脂物質在高溫作用下被分解。

為了使我們了解在具有下吸式過程的發生爐中煤气的形成，在圖 226,6 上繪出了它的簡

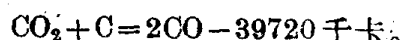
圖。煤气由發生爐的底部被工作着的發動機吸出。為燃料氣化所必需的空氣經由風口或經由特殊的開口流入燃燒區。由 $\text{C}, \text{H}_2, \text{O}_2$ 及 N_2 組成的固体燃料，以及燃料中的水分 H_2O 和空氣 (N_2 及 O_2) 參與氣化過程。

空氣中的氧和燃料中的碳參與放熱反應：

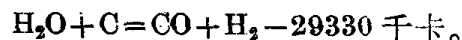


此處及以後 C, H_2 及 O_2 取千克分子量。

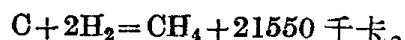
由於放出了大量的熱的緣故，燃燒區的溫度達到 $1100-1300^{\circ}\text{C}$ ，因此處於還原區內的燃料層就被強烈的加熱。二氧化碳經下面的熾熱碳層的時候就與之參與按下式進行的吸熱反應：



一部分隨燃料一同被帶進去的水蒸氣及燃料燃燒的結果所形成的水蒸氣在還原區與熾熱的碳相接觸，並與之參與吸熱反應(水煤气反應)：



一部分氫氣，與燃料中的碳參與放熱反應(主要是在還原區的底層)，形成甲烷：



在輻射熱的作用下，將使在燃燒區上面的燃料被干餾。

干餾的生成物，當經過燃燒區及還原區時，也參與形成 $\text{H}_2\text{O}, \text{CO}, \text{CO}_2$ 以及 H_2 與 CH_4 的過程。

一部分水蒸氣、二氧化碳及氧，以及所有燃料中的和空氣中的氮於流過還原區時並不發生任何化學變化，因而將使每立方米煤气的熱值降低。

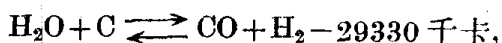
CO 及 H_2 是決定煤气質量的基本成分，因此於設計煤气發生爐時要採用一切辦法使得經過還原區的 CO_2 及 H_2O 能夠尽可能多的與熾熱的碳參與反應。為要達到這個目的，必須創

造这样的一些条件(溫度,压力,物质的浓度),在这样的条件下,当达到平衡状态之前,即有尽可能多的 CO_2 及 H_2O 轉变为 CO 及 H_2 。

保証約有99%的 CO_2 及 H_2O 轉变为 CO 及 H_2 的平衡状态是当还原区的溫度在1000°C左右时得到的。为了达到这样的溫度必須耗費很多的热量,这样归根結底不但要影响到燃料的消耗量,也要影响到發生爐的处于高溫作用下的部分的寿命。應該注意, CO_2 还原成 CO 的反应或 H_2O 的分解反应,需要一定的时间来进行。

当还原区的溫度提高时,这些反应的进行速度急剧的增高。

为了减少热消耗量,于設計煤气發生爐时,要采取一系列的减少热消耗量的措施(如遮熱板、絕热、利用煤气的热預热进入發生爐的空气、利用煤气的热預热燃料等等)。試驗證明,二氧化碳还原成 CO 的速度也决定于燃料的品質;从这个观点看來,木炭具有較好的指标。必須順便指出,反应

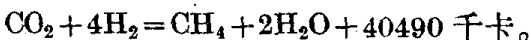
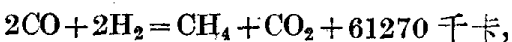
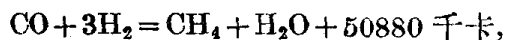


是可逆反应,例如当溫度降低或压力增加时,吸热反应将向相反的方向进行^①,并分出 CO_2 、 H_2O 及 C 。这是很重要的,因为这种反应的存在可能会大大降低煤气的热值,因而降低发动机的功率。研究証明,当溫度低于450—400°C(煤气的“激冷”溫度)时,这反应即不可能进行。上面曾經指出,氢气主要是在还原区的底層与还原区中燃料的碳相化合,形成甲烷。

当还原区的溫度为900°C时,这样所得的甲烷的数量是極少的,靠还原区的碳所得到的甲烷可稍稍提高混合气的热值,因为甲烷混合

气的热值較氢混合气的热值为高。

除了上述的还原区内形成甲烷的反应之外,甲烷还可以于煤气由还原区前往发动机的路途中被形成。在这种場合下,甲烷的形成,可以下列的方式进行:



这些反应的出現是絕非我們所希望的,因为煤气的热量将大量的損失掉(全是放热反应)。含有6%以上甲烷的煤气的出現,就預告了这些反应的出現。

研究溫度对于这些反应的进程的影响指出,当煤气的溫度降低至300—250°C以下时,这些反应就不可能發生了。所以設計者應該采取一切的办法来加速煤气的冷却,使达到这样的溫度,在这溫度下,煤气在由煤气發生爐前往发动机的途中将不致形成甲烷、二氧化碳及水。

在СД-80和ГД-58等型式的拖拉机的煤气發生爐采用下吸式气化过程。

平吸式气化过程 具有平吸式气化过程的煤气發生爐与具有上吸式和下吸式气化过程的煤气發生爐根本不同。这种煤气發生爐的簡圖示于圖226,6上。与以上所討論的上吸式及下吸式煤气發生爐不同,在这种煤气發生爐中不可以設想有以尋常的順序(即在还原区中)形成 CO 的可能性,因为这种煤气發生爐的整个起作用的区域仅有很小的容积,因而煤气穿越这个区域的时间将不足以使 CO_2 还原成 CO 。在这种煤气發生爐中沒有还原区, CO 的形成按下列反应进行:



各种气化过程的比較 比較上吸式及下吸

^① 原文为“当溫度或压力降低时,放热反应将向相反的方向进行”——譯者注。

式氣化過程，可以得出下列幾點意見：

1. 具有下吸式氣化過程的煤气發生爐由於可以採用各種種類的燃料，而不致將發動機弄髒所以是更通用一些。
2. 在具有下吸式氣化過程的煤气發生爐中可以較比具有上吸式氣化過程的煤气發生爐有更高的燃料化學能的利用率。這是由於在下吸式煤气發生爐中，樹脂化合物參與氣化過程，而上吸式煤气發生爐中樹脂化合物損失掉了（由濾清器濾去）。
3. 在下吸式煤气發生爐中形成 CO 及 H₂ 的條件是比較有利，因為在這種煤气發生爐的還原區中，永遠充滿著具有較高含碳百分率的炭。
4. 可以不必停止發動機而裝添燃料是具有下吸式氣化過程的煤气發生爐的重要特長（提高車輛的利用效率並減少在發動機起動時的汽油消耗）。
5. 當採用下吸式氣化過程時，煤气發生爐裝置的構造較簡單，在這種型式的裝置中，燃料的濾清簡易化了；積聚於干餾區的水氣吸經燃燒區及還原區，免去了人工給水，這就大大簡化了裝置的構造。
6. 應該指出，對於在變動的工作情況下工作的汽車拖拉機發動機來說，具有下吸式氣化過程的煤气發生爐所產生煤气的平穩性較大是其特別重要的優點。這是由於參加氣化過程的燃料量是几乎不變的，而對於具有上吸式氣化過程的煤气發生爐來說，就談不到這一點。

上面所指出的，說明了具有下吸式氣化過程的煤气發生爐得到廣泛流行的原因。

最後應該指出對氣化過程的進程發生影響的因素。

煤气的成分因燃料的種類、燃料的濕度、煤气發生爐中的燃料量而改變。堅硬類的木料

（櫟木、櫻木、白樺）產生較結實的炭及較少的灰燼，由於這個緣故，用這種燃料的煤气發生爐的特點是平穩性較大及阻力較小。木塊的尺寸主要是對穹窿的形成（燃料下不去）有影響。由燃料（當無穹窿時）尺寸上的變化所引起的煤气發熱量的變化是不顯著的。當木塊的尺寸加大時，增加了在煤气中帶有樹脂的危險，這是因為大塊的木塊，較難除去樹脂的緣故。當木塊的尺寸減小時，則出現了木炭變碎並大量損失的危險。

在將煤气發生爐生火及發動機換用煤气之後，是不能夠立刻從煤气發生爐中得到正常的煤气的，因為氣化過程尚未有來得及建立起來。

在這期間里不宜於強使發動機在低轉速下工作，因為當燃燒室內的溫度低時，將因不能使樹脂化合物分解而把發動機弄髒。

氣化過程被建立起來所需時間的久暫，決定於許多的因素。例如：在夏天的情況下用干燥木塊時，氣化過程於使用煤气 15—20 分鐘之後，就被建立了；在寒冷的冬天，用濕潤的木塊時，則需經過 30—40 分鐘或更多的時間。

在煤气發生爐中，燃料面不得低於風口以上 200 毫米。

燃料面過低將引致燃料倉強烈的過熱並使之過早的損壞。

應該指出，經由倉口、接頭等處吸入空氣，對煤气發生爐的工作有巨大的影響。尤其是象在灰倉口這些處所，也就是說在煤气具有很高的溫度之處吸入空氣，對煤气發生爐的工作有嚴重的影響。從這些處所吸入空氣，不可避免地會引起煤气的局部燃燒、發生爐過熱等現象。

煤气發生爐的熱計算 當供給某一發動機以煤气時，煤气發生爐裝置各部件的基本尺寸隨該發動機的燃料和空氣的消耗量而定。所以煤气發生爐裝置的設計工作是由熱計算開始的。熱計算使得有可能確定燃料消耗量、空氣消耗量以及一系列用以表征煤气發生爐熱特性的參數。

于进行下吸式汽车拖拉机用煤气發生爐的热計算时，以指定的燃料气化时所可能获得的煤气成分为出发点。为了方便起见，以每获得 100 千克分子的煤气为单位来计算燃料消耗量及空气消耗量。設 100 千克分子的煤气有下列所希望的成分：

一氧化碳	CO
二氧化碳	CO ₂
甲烷	CH ₄
氢	H ₂
氮	N ₂

共 100 千克分子

假設用气化的方法可获得上述煤气的燃料具有下列的重量組成：

碳	O
氢	H ₂
氧	O ₂
氮	N ₂
水(W _{相对})	H ₂ O
灰	A

按上列所假設的組成，不難算出为了获得 100 千克分子的煤气所必需的燃料量。

必須記得，于获得一分子的一氧化碳时，1 分子的碳及半分子的氧参与反应；因而，在全部煤气(100 千克分子)的一氧化碳中将有 CO 千克分子的碳及 0.5CO 千克分子的氧。

于碳燃燒成二氧化碳时，一分子的碳及一分子的氧参与反应；因而，在全部煤气的二氧化碳中将包含 CO₂ 千克分子的碳及 CO₂ 千克分子的氧。于形成甲烷时，1 分子的碳及 2 分子的氢参与反应，而在全部煤气中将有 CH₄ 千克分子的碳及 2CH₄ 千克分子的氢。根据所指出的，则包含于煤气中的碳(C')氢(H')氧(O')及氮(N')的数量将等于：

$$C' = CO + CO_2 + CH_4 \text{ 千克分子},$$

$$H' = H_2 + 2CH_4 \text{ 千克分子};$$

$$O' = 0.5CO + CO_2 + O_2 \text{ 千克分子},$$

$$N' = N_2 \text{ 千克分子}.$$

在燃料气化的过程中，不是所有燃料中的碳都能轉化成煤气的；一部分燃料中的碳将由灰渣形式由爐竈漏走而损失掉；一部分碳将以炭渣的形式被带走并沉积于管路、滤清器等处之内；此外某些碳可能由于煤气的緩慢冷却而損失掉。

每千克燃料中所损失的碳量依被气化的燃料的性質（例如，不同的湿度，被过分弄碎了的炭或泥炭）、煤气發生爐构造上的品質（例如，爐竈间隙的大小）及热品質（煤气的冷却不够快）而定。

根据葛茲乃辛斯基工程师的試驗，在使用木块的煤气發生爐中，每千克燃料的碳损失，按重量計为由 1.25 — 1.56%，

而按道路运输总局(Главдортранс)的数据——1.6—1.7%。

把上述的碳损失考慮在內，为获得 100 千克分子的煤气所必需的燃料量等于：

$$G_T = \frac{12C'}{O-O_n} = \frac{12(CO+CO_2+CH_4)}{O-O_n} \text{ 千克}.$$

此处 C' — 煤气中的碳量，千克分子；

O — 每千克燃料中的碳量，千克；

O_n — 每千克燃料的碳损失，千克。

由 1 千克燃料所得到的煤气的体积（煤气的出量），由下式計算：

$$V_2 = \frac{22.4 \times 100}{G_T} \text{ 米}^3/\text{千克} \quad (1).$$

G_T 千克燃料气化时所必需的空气量可以这样來計算：

煤气中所有的氮气量等于 N'₂ = N₂ 千克分子；随燃料一同被携入的氮的千克分子数等于：

$$\frac{N_2^T \cdot G_T}{28}.$$

随空气携入的氮的千克分子数为两数之差：

$$N_2^S = N_2 - \frac{N_2^T \cdot G_T}{28} \text{ 千克分子}.$$

全部燃料气化时所必需的空气量的千克分子数(L) 及千克数(L') 将等于：

$$L = \frac{N_2^S}{0.79} \text{ 千克分子} \text{ 和 } L' = 28.95L \text{ 千克}.$$

每千克燃料气化所必需的空气量的千克数及米³ 数将等于：

$$L_0 = \frac{L'}{G_T} \text{ 千克}/\text{千克} \text{ 和 } L'_0 = \frac{22.4L}{G_T} \text{ 米}^3/\text{千克}.$$

煤气的湿度可以这样計算，随燃料一同携入的及由于燃料所生成的全部水分将等于⁽²⁾：

$$W_{总} = \frac{W_{相对} G_T}{18} + \frac{H_2^T G_T}{2} \text{ 千克分子}.$$

这水分的一部分将用来形成水煤气及甲烷；剩余的水将使煤气湿润。以蒸汽状态存在于煤气之中的水分量将等于：

$$W_{蒸} = W_{总} - H_2 \text{ 千克分子} \text{ 和 } W_{蒸}' = 18W_{蒸} \text{ 千克}.$$

單位为千克/米³ 的水蒸汽之量，由下式計算：

$$W_{蒸}' = \frac{W_{蒸} \cdot 18}{22.4(100+W_{蒸})}.$$

由 1 千克燃料所發生的湿煤气的出量将等于：

$$V_2' = \frac{22.4(100+W_{蒸})}{G_T} \text{ 米}^3/\text{千克}.$$

在煤气由煤气發生爐前往发动机的途中，煤气中的一部分水分被凝結出来；被凝結出来的水分的数量将依發生爐的构造及工作情况而定。由 G_T 千克燃料气化所得到的干燥煤气的重量等于：

(1) 于 0°C 及 760 毫米水銀柱时，1 千克分子的体积等于 22.4 米³。

(2) 被空气携入的水分由于相对的來說其数量是很微少的，故忽略不計。

$$G_t = 2800 + 4400_s + 320_s + \\ + 2H_s + 160H_4 + 28N_s \text{ 千克。}$$

每米³ 煤气的低热值可按下式計算：

$$H_{th} = 25.7H_s + 30.35CO + 85.7OH_s \text{ 千卡/米}^3。$$

若作气化之用的燃料是按照所希望的煤气組成而选出的，則應該有下列的平衡：

$$G_T + L' = G_t + W_{蒸} + AG_T + G_TC_n \text{ 千克。}$$

此处 G_T ——为获得 100 千克分子的煤气所必需的潮湿燃料的重量，千克；

L' ——参与气化过程的空气重量；

G_t ——100 千克分子的干燥煤气的重量，千克；

AG_T —— G_T 千克燃料燃燒后所剩灰燼的重量；

C_nG_T —— G_T 千克燃料气化时，所損失的碳的重量。

發生爐的热平衡 在煤气發生爐工作时，所获得的热是由燃料的热和空气的热所积成的。由 G_T 千克的燃料所携进的热，按高热值計算将等于：

$$Q_T = G_T H_{st} + c_T G_T t_T = G_T [81000 + \\ + 30000H_s - 2600(O_s - S)] + c_T G_T t_T.$$

此处 H_{st} ——每千克燃料的高热值，千卡/千克；

c_T ——千克燃料的比热；可假定等于 0.6 千卡/千克 1°；

t_T ——被填入煤气發生爐的燃料的温度，可假定为 15°C。

$c_T G_T t_T$ 项是燃料的物理热。由空气所携入的热量将等于：

$$Q_a = c_p L t_a.$$

此处 c_p ——空气的等压分子比热，等于：

$$c_p = 6.985 + 3.5876 \times 10^{-4} t_a;$$

L —— G_T 千克的燃料气化所必需的空气量，千克分子。

t_a ——空气进入發生爐时的溫度。

由燃料和空气携入的全部热量将等于：

$$Q_n = Q_T + Q_a.$$

热消耗量 在燃料气化的過程中，由 G_T 千克的燃料及 L' 千克的空气所携入的热量 Q_n ，被分配为下列几个部分：

$$Q_n = Q_1 + Q_2 + Q_3 + Q_4 + Q_5.$$

此处 Q_1 = 100 千克分子煤气的潜热能，千卡；

Q_2 ——干燥煤气的含热量，千卡；

Q_3 ——煤气中水分的含热量，千卡；

Q_4 ——由于残渣及煤烟等等而损失的热，千卡；

Q_5 ——热的对流损失及辐射损失，千卡。

在 100 千克分子的干燥煤气中所含的有效热，可根据煤气的高热值計算：

$$Q_1 = 100 \times 22.4 H_{st} = 100 \times 22.4 (30.5H_s + \\ + 30.35CO + 95.3OH_s) \text{ 千卡。}$$

100 千克分子干燥煤气的含热量将等于：

$$Q_2 = c_p t.$$

在这个式子中， t ——煤气于离开煤气發生爐时的溫度，°C；

c_{p2} ——100 千克分子煤气的等压比热。

100 千克分子煤气的比热，可由下式計算：

$$c_{p2} = c_{v2} + 198.5.$$

此处 c_{v2} ——100 千克分子煤气的等容比热。

每 100 千克分子煤气的等容比热可由下式計算：

$$c_{v2} = (5 + 3.5876 \times 10^{-4} t) (CO + OH_s + \\ + H_2 + N_2 + O_2) + (7.1 + 0.003 t) CO_2.$$

在煤气于出口处的溫度所可能有的变化范围内，可以采用这个式子，而具有足够的准确度。

于計算甲烷的比热 c_{v2} 时，算作与二原子气体的比热一样；当甲烷在煤气中的百分数不大时，这假設不致引起重大的錯誤。

煤气在出口处的溫度是一未知数；因此在 Q_2 的公式中将 c_{p2} 的值代入，得到以下的式子：

$$Q_2 = [B(5 + 3.5876 \times 10^{-4} t) + \\ + (7.1 + 0.003 t) CO_2 + 198.5] t.$$

此处 $B = (CO + CH_4 + H_2 + N_2 + O_2)$.

在 100 千克分子的煤气中，水分的含热量由下式計算：

$$Q_3 = (18r + c_p t) W_{蒸}.$$

此处 $W_{蒸}$ ——在 100 千克分子煤气中的水蒸气量，千克分子；

r ——蒸發潛热，等于 600 千卡/千克，

c_p ——水蒸汽的等压分子比热，等于：

$$c_p = 8.165 + 9 \times 10^{-4} t.$$

t ——煤气离开發生爐时的溫度。

于 Q_3 的式子中将 c_p 及 r 的值代入，得：

$$Q_3 = [10800 + (8.165 + 9 \times 10^{-4} t)t] W_{蒸}.$$

被煤烟等所携走而损失的热，可約略的由下式計算：

$$Q_4 = H_C G_T C_n.$$

此处 H_C ——碳的热值，等于 8100 千卡/千克；

C_n ——因残渣、煤烟等所损失的碳，單位为千克。

由于热傳导及辐射的热损失，可以用和的形式表示出：

$$Q_5 = Q_K + Q_A;$$

此处 Q_K ——經由煤气發生爐的外表面，由于热傳导的热损失；

Q_A ——由于辐射的热损失。

由于热傳导的热损失，可以按下式極近似地計算出来：

$$Q_K = [k_1 F_1 (t_1 - t_a) + k_2 F_2 (t_2 - t_a) + \\ + k_3 F_3 (t_3 - t_a)] z \text{ 千卡；}$$

在这个式子中： k_1 、 k_2 及 k_3 ——由側壁、底及上蓋到空气的傳热系数，千卡/米²·小时·1°；

F_1 、 F_2 及 F_3 ——煤气發生爐的側表面积及底和蓋的表面积，米²；

t_1 、 t_2 及 t_3 ——該表面的平均溫度；

t_a ——周围大气的溫度；